

ВПЛИВ НЕСИМЕТРІЇ НАПРУГ НА ВТРАТИ АКТИВНОЇ ЕЛЕКТРОЕНЕРГІЇ У АСИНХРОННИХ ДВИГУНАХ І ЕЛЕКТРИЧНІЙ МЕРЕЖІ

Дмитрієва О. М.

Донецький національний технічний університет

Сидоренко О. О.

BAT «Інститут «Донецький Будпроект»

led@dgtu.donetsk.ua

It is examined the task of influencing of asymmetry of voltage on induction motors and cables. The losses of active power calculate with the use of two-contour scheme of substitution. Reduction of term of service is evaluated.

Постановка задачі. Одним з негативних проявів впливу несиметрії напруг на електрообладнання і електричну мережу є збільшення втрат активної потужності, що призводить до більшого споживання електроенергії та скорочення строку служби внаслідок додаткового нагріву ізоляції. Найбільш поширеними електроприймачами, на які суттєво впливає несиметрія, є асинхронні двигуни.

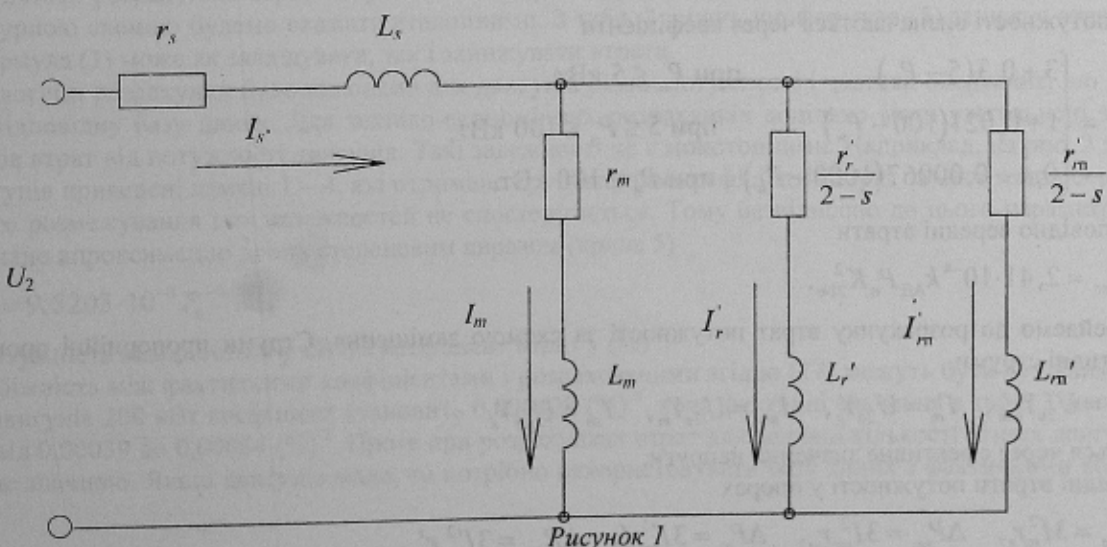
Звичайно втрати потужності і температуру перевищення розраховують через номінальні дані, а в інженерній практиці використовують осереднені залежності [1, 2]. Запровадження комп’ютерних технологій потребує переходу до більш точного розрахунку параметрів режиму. Метою статті є розробка методів аналізу впливу несиметрії напруг на асинхронні двигуни. Ці методи очевидним чином можуть бути розповсюджені і на синхронні двигуни.

При оцінюванні електромагнітної сумісності (EMC), напруга U_2 зворотної послідовності розглядається окремо від прямої, а двигуни і кабелі вважаються однорідними тепловими тілами з нульовими тепловими опорами. Це дозволяє визначати скорочення строку служби через сумарні втрати потужності [3].

Вихідними даними для розрахунків є графік $U_2(t)$ або тільки його ефективне значення U_{2e} . Визначенням підлягають середні втрати потужності у двигуні і кабелі, що дозволяє оцінити скорочення їх строку служби від несиметрії. Таку можливість зумовлено наступним. Між векторами напруг прямої і зворотної послідовностей різних фаз кутові зсуви не є однаковими, тому відповідні струми фаз не співпадають, а при розрахунку втрат потужності у фазах потрібно було б враховувати кореляційні залежності між струмами. Однак при підсумуванні втрат результат буде таким, як і при потроєнні втрат від прямої і зворотної послідовностей, бо сума кореляційних моментів дорівнює нулю.

Схема заміщення. Несиметрія напруг змінюється у невеликому діапазоні, що дозволяє використовувати лінійні схеми заміщення, а ковзання s вважати незмінним.

Для врахування насичення магнітної системи і витіснення струму ротора застосовують двоконтурну схему заміщення [4], яку приведено на рис. 1, де позначено: r_s , r_m , r_r' , r_m' – L_s , L_m , L_r' , L_m' – активні опори і індуктивності статора, контуру намагнічення, контурів ротора; I_s – струм статора; I_m , I_r' , I_m' – струми контурів. Параметри схем визначаються через паспортні дані: потужність P_n , напруга U_n , фазний струм $I_{\phi n}$, ККД η_n , ковзання s_n та кратності k – пускового струму, m_n – пускового моменту, m_m – максимального моменту.



Для визначення струмів потрібно знайти еквівалентні провідності Y_s , Y_m , Y_r , Y_{rn} відповідних лінійних систем «напруга-струм». Позначимо:

$$\begin{aligned} R'_r &= r'_r / (2 - s), \quad R'_m = r'_m / (2 - s), \quad R_1 = R'_r + R'_m, \quad L_1 = L'_r + L'_m, \quad R_2^2 = R'_r R'_m, \quad L_2^2 = L'_r L'_m, \\ R_3^3 &= r'_m R_2^2, \quad L_3^3 = L'_m L_2^2, \quad L_4^2 = L'_m L_1 + L_2^2, \quad H_1 = L'_r R'_m + L'_m R'_r, \quad H_2^2 = r'_m L_2 + L'_m H_1, \\ H_3 &= r'_m H_1 + L'_m R_2^2, \quad H_4 = R_1 L'_m + r'_m L_1 + H_1, \quad R_4^2 = r'_m R_1 + R_2^2, \quad R_5^3 = r'_s R_4^2 + R_3^3, \quad g_s = R_4^2 / R_5^3, \\ g_m &= R_2^2 / R_3^3, \quad g_r = R_3^3 / R_5^3 R'_r, \quad g_{rn} = R_3^3 / R_5^3 R'_m, \quad T_r = L'_r / R'_r, \quad T_m = L'_m / R'_m, \quad T_1^2 = L_4^2 / R_4^2, \\ T_2 &= H_4 / R_4^2, \quad T_3^3 = (L_3^3 + L_s L_4^2) / R_5^3, \quad T_4^2 = (r'_s L_4^2 + L_s H_4 + H_2^2) / R_5^3, \quad T_5 = (r'_s H_4 + L_s R_4^2 + H_3) / R_5^3, \\ T_6^3 &= T_m T_r T_m, \quad T_7^2 = T_r T_m + T_m T_r + T_m T_{rn}, \quad T_8 = T_r + T_m + T_{rn}, \\ W_1(p) &= \frac{T_1^2 p^2 + T_2 p + 1}{T_3^3 p^3 + T_4^2 p^2 + T_5 p + 1}, \quad W_2(p) = W_1(p) \frac{T_6^3 p^3 + T_7^2 p^2 + T_8 p + 1}{T_1^2 p^2 + T_2 p + 1}, \end{aligned}$$

де p – оператор.

Опускаючи викладки, запишемо кінцеві вирази для провідностей:

$$\begin{aligned} Y_s &= g_s |W_1(j\omega)|, \quad Y_m = g_m \frac{|W_2(j\omega)|}{|j\omega T_m + 1|}, \\ Y_r &= g_r \frac{|W_2(j\omega)|}{|j\omega T_r + 1|}, \quad Y_{rn} = g_{rn} \frac{|W_2(j\omega)|}{|j\omega T_{rn} + 1|}, \end{aligned} \quad (1)$$

де $\omega = 100\pi$ – кутова частота, $j = \sqrt{-1}$.

Розрахунок втрат потужності і скорочення строків служби. В [1] для незмінної несиметрії приведено емпіричну формулу

$$\Delta P_{\text{д}} = 2,41 \Delta P_{\text{ш}} k_i^2 (K_{2U}/100)^2 \quad (2)$$

для втрат потужності у асинхронному двигуні, в якій $\Delta P_{\text{ш}}$ – номінальні втрати потужності у статорі, K_{2U} – коефіцієнт несиметрії у процентах від номінальної напруги $U_{\text{н}}$. Номінальні втрати

$$\Delta P_{\text{ш}} = (1/\eta_{\text{н}} - 1) P_{\text{н}}$$

розраховуються за номінальною потужністю і ККД.

Втрати електроенергії пропорційні середньому значенню втрат потужності, яке пропорційне квадрату ефективного значення K_{2Ue} коефіцієнта несиметрії. Тому при несиметрії, яка змінюється, середні втрати

$$\Delta P_{\text{дс}} = 2,41 \cdot 10^{-4} \Delta P_{\text{ш}} k_i^2 K_{2Ue}^2. \quad (3)$$

За відсутністю даних щодо k_i і $\Delta P_{\text{ш}}$ в [2] рекомендується формула

$$\Delta P_{\text{д}} = 2,41 \cdot k_{\text{АД}} P_{\text{н}} (K_{2U}/100)^2, \quad (4)$$

де втрати потужності визначаються через коефіцієнти

$$k_{\text{АД}} = \begin{cases} 3 + 0,3(5 - P_{\text{н}}) & \text{при } P_{\text{н}} \leq 5 \text{ кВт}, \\ 1 + 0,021(100 - P_{\text{н}}) & \text{при } 5 \leq P_{\text{н}} \leq 100 \text{ кВт}, \\ 0,4 + 0,00067(1000 - P_{\text{н}}) & \text{при } P_{\text{н}} \geq 100 \text{ кВт}. \end{cases}$$

Відповідно середні втрати

$$\Delta P_{\text{дс}} = 2,41 \cdot 10^{-4} k_{\text{АД}} P_{\text{н}} K_{2Ue}^2. \quad (5)$$

Перейдемо до розрахунку втрат потужності за схемою заміщення. Струми пропорційні провідностям, тому ефективні струми

$$I'_{me} = U_{2e} Y_{me}, \quad I'_{re} = U_{2e} Y_r, \quad I_{me} = U_{2e} Y_m, \quad I_{se} = U_{2e} Y_s \quad (6)$$

визначаються через ефективне значення напруги.

Середні втрати потужності у опорах

$$\Delta P_{sc} = 3I_{se}^2 r_s, \quad \Delta P_{mc} = 3I_{me}^2 r_m, \quad \Delta P_{rc} = 3I_{re}^2 r_r, \quad \Delta P_{rn} = 3I_{rn}^2 r_m. \quad (7)$$

Додаткові середні втрати потужності у двигуні дорівнюють їх сумі:

$$\Delta P_{dc} = 3U_{2e}^2 \left(Y_s^2 r_s + Y_m^2 r_m + Y_r^2 r_r + Y_m^2 r_m \right) = 3 \cdot 10^{-4} K_{2e}^2 U_n^2 \left(Y_s^2 r_s + Y_m^2 r_m + Y_r^2 r_r + Y_m^2 r_m \right). \quad (8)$$

Середні втрати потужності у кабелю з опором фази r_k становлять

$$\Delta P_{kc} = 3I_{sc}^2 r_k. \quad (9)$$

Таким чином, розрахунки зводяться до визначення ефективного значення вихідного графіка напруги, якщо воно відразу не задано.

Для можливості узагальнення результатів розрахунку втрат потужності введемо коефіцієнт

$$c_{d2} = \Delta P_{dc} / \left(P_n K_{2e}^2 \right), \quad (10)$$

який умовно назовемо коефіцієнтом втрат.

З формули (8) знайдемо

$$c_{d2} = 3 \cdot 10^{-4} U_n^2 \left(Y_s^2 r_s + Y_m^2 r_m + Y_r^2 r_r + Y_m^2 r_m \right) / P_n. \quad (11)$$

Формулі (5) відповідають коефіцієнти втрат

$$c_{d2} = 2,41 \cdot 10^{-4} k_{Ad}. \quad (12)$$

Середні втрати потужності дозволяють розрахувати середню температуру перевищення

$$\vartheta_{2c} = c_{d2} \Delta P_{dc}, \quad (13)$$

двигуна, де коефіцієнт

$$c_{d2} = \bar{\vartheta}_d / \Delta P_{dc} = \bar{\vartheta}_d / (1/\eta_n - 1) P_n \quad (14)$$

визначається через допустиму температуру перевищення $\bar{\vartheta}_d$ при номінальному навантаженні двигуна, номінальну потужність і ККД.

Строк служби двигуна скорочується на величину

$$\Delta z_d = 100 \left(1 - \exp \{ -b \vartheta_{2c} \} \right) \quad (15)$$

у процентах, де згідно [3] коефіцієнт b для ізоляції класів A, E, B, F і H дорівнює $0,0866; 0,0693; 0,065; 0,052$ і $0,0416$ ($^{\circ}\text{C}$) $^{-1}$.

Аналогічні формули справедливі і для кабелю:

$$\vartheta_{k2c} = c_{k2g} \Delta P_{k2c}, \quad c_{k2g} = \bar{\vartheta}_k / \left(3 \bar{I}_k^2 r_k \right), \quad \Delta z_k = 100 \left(1 - \exp \{ -b \vartheta_{k2c} \} \right), \quad (16)$$

де $\bar{\vartheta}_k$ – допустима температура перевищення при допустимому значенні \bar{I}_k тривалого навантаження.

Втрати потужності. Порівнямо результати розрахунків втрат потужності за різними методами на прикладі двигунів потужністю 200 кВт: серії 4A з $U_n=380$ В та B4C і B5C з $U_n=400$ В фірми MarelliMotori (Італія). Паспортні дані двигунів приведено у табл. 1, де n_0 – синхронна частота обертання. Ефективне значення коефіцієнта несиметрії приймемо 2%, що відповідає напрузі $U_{2e} = 7,6$ В (або 8 В – для двигунів з $U_n=400$ В). За паспортними даними розрахуємо параметри схеми заміщення у іменованих одиницях, які приведено в табл. 2.

Результати розрахунків втрат потужності і коефіцієнта (10) приведено у табл. 3. Результати розрахунку за двоконтурною схемою будемо вважати еталонними. З табл. 3 видно, що формула (5) занижує втрати потужності, а формула (3) може як завищувати, так і занижувати втрати.

Аналогічні розрахунки було виконано для двигунів різної потужності і частоти обертання, що дозволило створити відповідну базу даних. Для техніко-економічних розрахунків доцільно мати узагальнені залежності коефіцієнтів втрат від потужності двигунів. Такі залежності не є монотонними. Наприклад, на рис. 2 для італійських двигунів приведені ламані 1 – 4, які отримано групуванням коефіцієнтів втрат за частотою обертів двигунів. Чіткого розмежування цих залежностей не спостерігається. Тому безвідносно до цього параметру режиму було виконано апроксимацію даних степеневим виразом (крива 5)

$$c_{d2} = 9,5203 \cdot 10^{-4} P_n^{-0.1505}, \quad (17)$$

у якому потужність вимірюється у кВт, а коефіцієнт втрат у $(\%)^{-2}$.

Розбіжність між фактичними коефіцієнтами і розрахованими згідно (17) можуть бути суттєвими. Наприклад для двигунів 200 кВт коефіцієнт становить $0,000429 (\%)^{-2}$, хоча фактичні значення в табл. 3 знаходяться у діапазоні від $0,00039$ до $0,00054 (\%)^{-2}$. Проте при розрахунках втрат для великої кількості різних двигунів похибка не буде значною. Якщо двигунів мало, то потрібно використовувати базу даних з фактичними коефіцієнтами втрат.

Таблиця 1

Тип	Схема з'єднання і U_h , В	I_{ph} , А	n_0 , об/хв	s_h	η_h	$\cos\phi_h$	k_i	m_n	m_m
4A315M2Y3	Δ/Y 380/660	210,73	3000	0,019	0,925	0,9	7,0	1,0	1,9
4A315M4Y3		202,6	1500	0,013	0,94	0,92	6,0	1,3	2,2
4A355M6Y3		209,0	1000	0,015	0,94	0,9	6,5	1,4	2,2
B4C315Md2	Δ 400	196,3	3000	0,0067	0,954	0,89	6,5	2,2	2,2
B4C315Md4		203,8	1500	0,01	0,952	0,86	6,5	2,5	2,6
B5C355La6		206,1	1000	0,01	0,953	0,85	6,0	2,1	2,1
B5C355Lb8		211,3	750	0,013	0,952	0,83	5,6	2,0	2,1

Таблиця 2

Тип	r_s , Ом	r_m , Ом	r_r , Ом	r_{rp}' , Ом	L_s , мГн	L_m , мГн	L_r' , мГн	L_m' , мГн
4A315M2Y3	0,069	1,393	0,034	0,053	0,41	31,49	1,396	0,457
4A315M4Y3	0,049	1,287	0,024	0,16	0,498	34,47	1,051	0,639
4A355M6Y3	0,055	0,755	0,027	0,114	0,445	25,92	1,11	0,524
B4C315Md2	0,027	0,534	0,014	0,2	0,499	26,3	1,195	0,443
B4C315Md4	0,039	0,274	0,021	0,215	0,481	17,99	0,993	0,303
B5C355La6	0,039	0,314	0,02	0,14	0,515	19,323	2,416	0,461
B5C355Lb8	0,049	0,251	0,027	0,208	0,538	16,804	1,281	0,443

Таблиця 3

Тип	ΔP_{dc} , Вт			$10^4 c_{d2}, (\%)^{-2}$		
	формула (3)	(5)	(8)	(3)	(5)	(8)
4A315M2Y3	431,2	180,5	275,3	5,39	2,25	3,44
4A315M4Y3	208,4	180,5	220,2	2,605	2,25	2,75
4A355M6Y3	291,1	180,5	264,0	3,64	2,25	3,3
B4C315Md2	127,9	180,5	311,6	1,6	2,25	3,9
B4C315Md4	199,2	180,5	431,3	2,5	2,25	5,4
B5C355La6	171,66	180,5	320,3	2,15	2,25	4,0
B5C355Lb8	204,4	180,5	330,7	2,6	2,25	4,13

Аналогічна залежність отримана і для двигунів серії 4A:

$$c_{d2} = 7,8345 \cdot 10^{-4} P_h^{-0,1567}, \quad (18)$$

яка для двигунів потужністю 200 кВт дає значення $0,000342 (\%)^{-2}$, а фактичні коефіцієнти втрат (табл. 3) знаходяться у діапазоні від 0,000275 до 0,000344 ($\%{^{-2}}$).

На рис. 3 дано порівняння залежностей: 1 – за формулою (18), 2 – (17) і 3 – (12). Крива 3 лише в зоні малих потужностей наближається до кривих 1 і 2. Двигуни серії 4A мають менші втрати, ніж італійські двигуни, хоча втрати від прямої послідовності у них більші.

Слід відзначити, що якби живлення двигуна виконувалося б трьома одножильними кабелями, то до вихідних даних треба було б додати ще і кути ϕ_{12} зсуву між векторами струмів симетричних складових. Дійсно, фактичні втрати потужності у кожному кабелю становлять [3]:

$$\Delta P_{rk} = (I_1^2 + I_2^2 + 2I_1 I_2 \cos\phi_{12}) r_k,$$

де I_1, I_2 – модулі векторів струмів, l – індекс фази (A, B або C). Додаткові втрати від зворотної послідовності не можна приймати рівними $I_2^2 r_k$, бо потрібно ще врахувати і долю від третього доданку, яка визначається відносно суми квадратів модулів струмів симетричних складових [5]:

$$\Delta P_{2l} = \left(1 + \frac{2}{I_1^2 + I_2^2} I_1 I_2 \cos \varphi_{12l} \right) I_2^2 r_s.$$

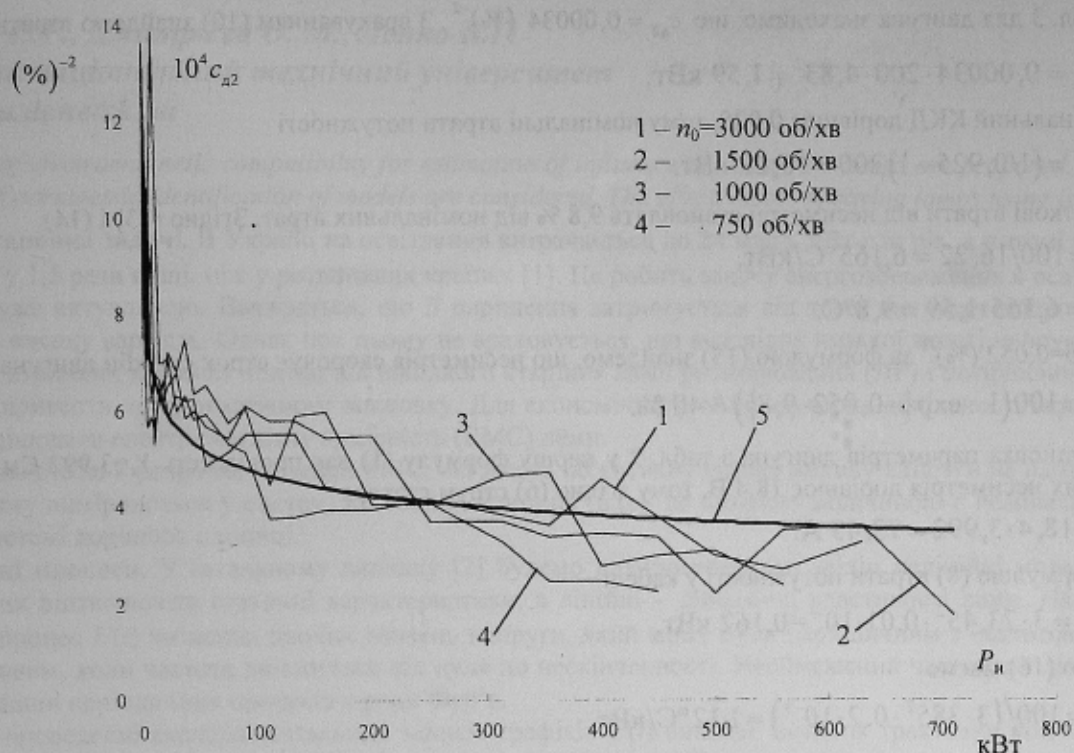


Рисунок 2

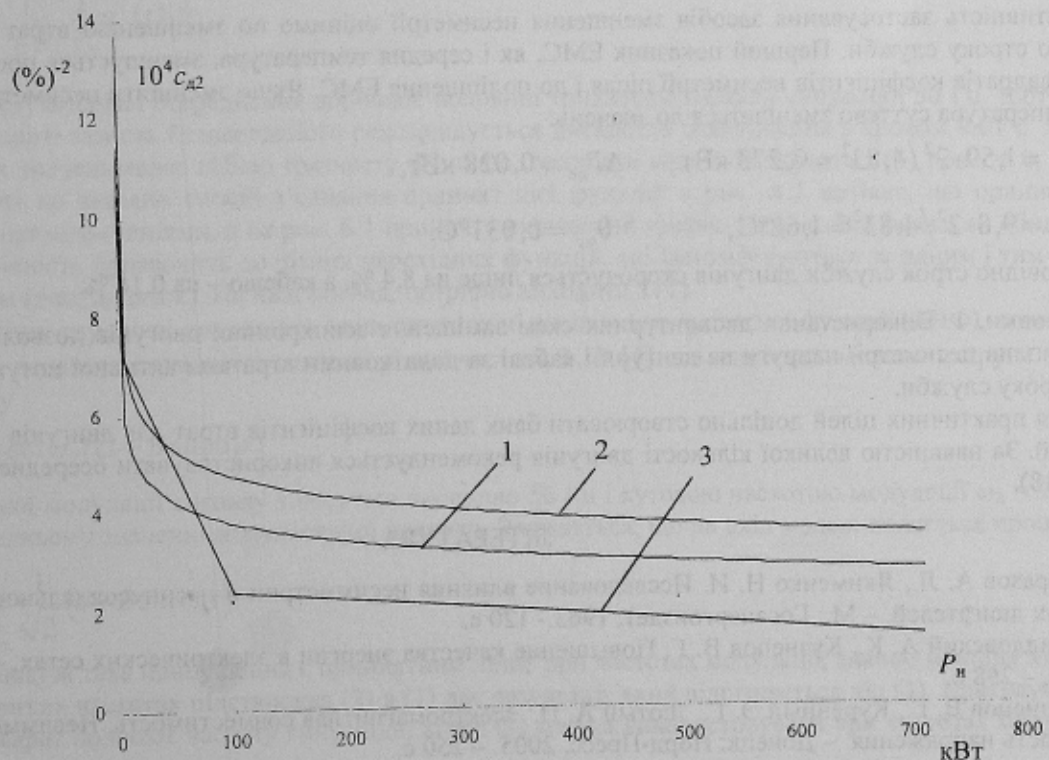


Рисунок 3

Однак сумарні додаткові втрати складають $3I_2^2 r_s$, бо сума косинусів кутів зсуву трьох фаз дорівнює нулю.

Приклад. Двигун 4А315М2УЗ (200 кВт, 380 В) отримує живлення від підстанції металургійного заводу, на шинах якої $U_{2e}=4,83\%$ (за даними приклада 1 з [2]). Кабель, що здійснює живлення, має активний опір 0,01 Ом і допустимий струм 385 А. Допустима температура ізоляції класу F становить 100°C. Оцінити вплив несиметрії на двигун і кабель, а також ефективність зменшення несиметрії до значення 2 %, що нормується.

З табл. 3 для двигуна знаходимо, що $c_{d2} = 0,00034 \text{ } (\%)^{-2}$. З врахуванням (10) знайдемо втрати

$$\Delta P_{2e} = 0,00034 \cdot 200 \cdot 4,83^2 = 1,59 \text{ кВт.}$$

Номінальний ККД дорівнює 0,925, тому номінальні втрати потужності

$$\Delta P_{sh} = (1/0,925 - 1) 200 = 16,22 \text{ кВт.}$$

Додаткові втрати від несиметрії становлять 9,8 % від номінальних втрат. Згідно (13) і (14)

$$c_{d3} = 100/16,22 = 6,165^\circ\text{C}/\text{kВт},$$

$$\theta_{2e} = 6,165 \cdot 1,59 = 9,8^\circ\text{C}.$$

При $b=0,052 \text{ } (\%)^{-1}$ за формулою (15) знайдемо, що несиметрія скорочує строку служби двигуна на

$$\Delta z_d = 100(1 - \exp\{-0,052 \cdot 9,8\}) = 40 \text{ %.}$$

Підстановка параметрів двигуна з табл. 2 у першу формулу (1) дає провідність $Y_s=3,992 \text{ См}$. У іменованих одиницях несиметрія дорівнює 18,4 В, тому згідно (6) струм статора

$$I_{se} = 18,4 \cdot 3,992 = 73,45 \text{ А.}$$

За формулою (8) втрати потужності у кабелі

$$\Delta P_{kc} = 3 \cdot 73,45^2 \cdot 0,01 \cdot 10^{-3} = 0,162 \text{ кВт.}$$

Згідно (16) маємо

$$c_{k29} = 100/(3 \cdot 385^2 \cdot 0,2 \cdot 10^{-3}) = 1,12^\circ\text{C}/\text{kВт},$$

$$\theta_{k2e} = 1,12 \cdot 0,162 = 0,18^\circ\text{C},$$

$$\Delta z_k = 100(1 - \exp\{-0,052 \cdot 0,18\}) = 0,932 \text{ %.}$$

Ефективність застосування засобів зменшення несиметрії оцінюємо по зменшенню втрат потужності й підвищенню строку служби. Перший показник ЕМС, як і середня температура, зменшується пропорційно відношенню квадратів коефіцієнтів несиметрії після і до поліпшення ЕМС. Якщо зменшити несиметрію до 2 %, то втрати і температура суттєво зменшаться до значень:

$$\Delta P_{2e} = 1,59 \cdot 2^2 / 4,83^2 = 0,273 \text{ кВт}, \quad \Delta P_{kc} = 0,028 \text{ кВт},$$

$$\theta_{2e} = 9,8 \cdot 2^2 / 4,83^2 = 1,68^\circ\text{C}, \quad \theta_{kc} = 0,031^\circ\text{C}.$$

Відповідно строк служби двигунів скорочується лише на 8,4 %, а кабелю – на 0,16 %.

Висновки. 1. Використання двоконтурних схем заміщення асинхронних двигунів дозволяє об'єктивно оцінювати вплив несиметрії напруги на двигуни і кабелі за додатковими втратами активної потужності та скороченню строку служби.

2. Для практичних цілей доцільно створювати банк даних коефіцієнтів втрат для двигунів різних типів і потужностей. За наявністю великої кількості двигунів рекомендується використовувати осереднені залежності виду (17), (18).

ЛІТЕРАТУРА

- Церазов А. Л., Якименко Н. И. Исследование влияния несимметрии и несинусоидальности на работу асинхронных двигателей. – М.: Госэнергоиздат, 1963.- 120 с.
- Шидловский А. К., Кузнецов В. Г. Повышение качества энергии в электрических сетях. – К.: Наукова думка, 1985. – 268 с.
- Кузнецов В. Г., Куренный Э. Г., Лютий А. П. Электромагнитная совместимость. Несимметрия и несинусоидальность напряжения. – Донецк: Норд-Пресс, 2005. – 250 с.
- Сивокобыленко В. Ф., Костенко В. И. Математическое моделирование электродвигателей собственных нужд электрических станций. – Донецк: ДПИ, 1979. – 110 с.
- Дмитрієва О.М., Левшов О.В. Оцінювання пайовою участі споживачів у втратах електроенергії. – Наукові праці ДонНТУ. Серія «Електротехніка і енергетика», 2003, вип. 67. – С. 49-52.

Рекомендовано проф., д. т. н. Курінним Е. Г.